



## بررسی خاستگاه و زمین دما-فشارسنگی توده‌های گرانودیوریتی و گرانیتی شاهجهان: با کاربرد داده‌های ایزوتوپ ناپایدار، سن‌سنگی و ژئوشیمی

شهره حسن‌پور، محبوبه جمشیدی بدر\*

گروه زمین‌شناسی، دانشگاه پیام نور، صندوق پستی ۱۹۳۹۵-۳۶۹۷ تهران، ایران

(دریافت مقاله: ۹۳/۷/۲۵ ، نسخه نهایی: ۹۳/۱۰/۱۷)

**چکیده:** توده‌های گرانودیوریتی و گرانیتی شاهجهان بخشی از توده‌ی گرانیتیوئیدی اردوباد است که در شمال غرب ایران و در ۱۰ کیلومتری جنوب رودخانه مرزی ارس و در منطقه ساختاری البرز-آذربایجان قرار گرفته است. توده‌ی گرانودیوریتی دارای بافت ریز دانه‌ای با کانی‌های پلازیوکلаз با ترکیب آندزین، فلدسپار پتاسیم با ترکیب ارتوز، آمفیبول با ترکیب مگنزیو-هورنبلند، بیوتیت، اسفن و مگنتیت است و فراوانی کانی‌های فلدسپار پتاسیم در توده‌ی گرانودیوریتی نسبت به توده‌ی گرانیتی کمتر است. نسبت  $^{87}\text{Sr}/^{86}\text{Sr}$  اولیه در توده‌ی گرانودیوریتی  $0.704486 \pm 0.004432$  و در توده‌ی گرانیتی  $0.704432 \pm 0.004432$  و مقدار Nd-Eu مثبت است که گویای خاستگاه گوشه‌های و محیط‌های فروراشی است. سن جایگیری توده‌ی گرانودیوریتی و گرانیتی بر مبنای نتایج سن‌سنگی به روش Ar-Ar بر روی کانی بیوتیت، به زمان اؤسن وابسته است. بر مبنای شیمی کانی‌های بیوتیت، آمفیبول و ژئوشیمی سنگ کل، شبه رخشان و جزء گرانیت‌های نوع I و از نظر سری ماغمایی جزء سری آهکی-قلیایی هستند. بیهنجاری‌های منفی Nb و Ti در نمودارهای بهنجار شده، گویای شکل‌گیری این توده‌ها در مناطق فروراشی است. جایگیری توده‌ی گرانودیوریتی بر مبنای زمین دما-شیمی در دمای بین ۷۵۳ تا ۷۷۷ درجه‌ی سانتی‌گراد و در فشار بین ۱۰۸ تا ۱۹۱ کیلوبار است.

**واژه‌های کلیدی:** توده‌ی گرانودیوریتی و گرانیتی؛ ایزوتوپ ناپایدار؛ سال سنگی؛ دما-فشارسنگی؛ شیمی کانی؛ شاهجهان.

آذربایجان محسوب می‌شوند (شکل ۱ الف) [۴,۳]. کمربند آتشفشاری سنوزوئیک البرز که در شمال ایران راستای شرقی-غربی دارد، به وسیله‌ی گسل N-S-Rشت - تاکستان به دو بخش شرقی و غربی تقسیم شده است. بخش غربی آن که به عنوان کمربند آتشفشاری البرز - آذربایجان نامیده می‌شود [۵] شامل گدازه‌های آندزیتی تا داسیتی و تعداد زیادی از توده‌های گرانیتیوئیدی با سرشت آهکی-قلیایی بوده (شکل ۱ الف، پ) و حاوی ذخایر مختلفی از پورفیری‌های مس، مولیبدن، طلا و کانسارهای آهن است که در بخش شرقی یافته نشده‌اند. به عقیده‌ی عزیزی و جهانگیری [۵] کمربند آتشفشاری البرز - آذربایجان ارتباطی با فرونش اقیانوس نئوتیس زاگرس به زیر صفحه‌ی ایران مرکزی ندارند و به وسیله‌ی گسل تبریز از پلیت

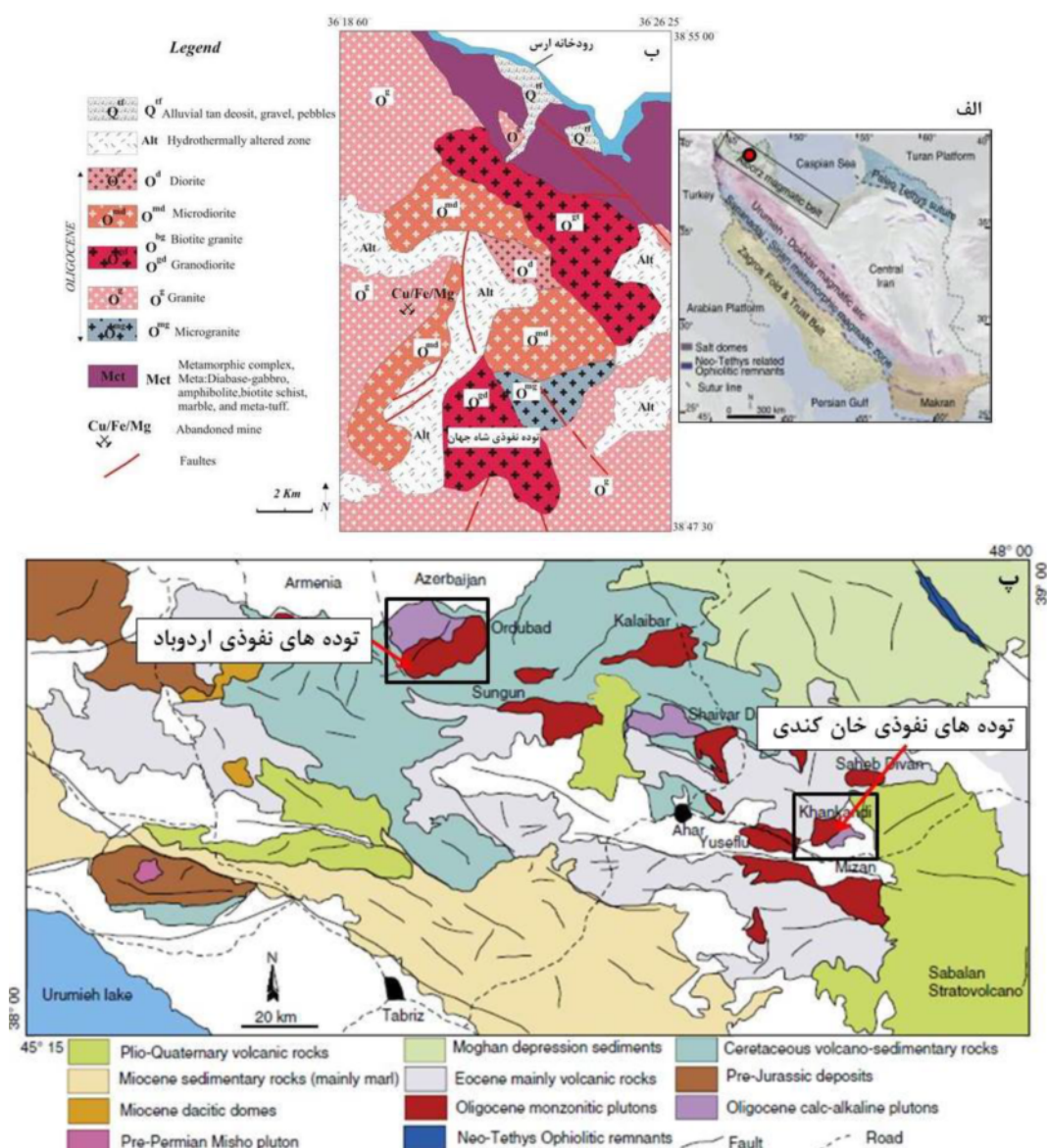
### مقدمه

باتولیت گرانیتیوئیدی اردوباد با مساحتی بالغ بر  $1500 \text{ km}^2$  در دو سوی رودخانه مرزی ارس در شمال غرب ایران و در کشورهای همسایه (جمهوری ارمنستان و نخجوان) بروند دارد. بخش اصلی این باتولیت در ایران (شمال استان آذربایجان شرقی) با وسعت  $350 \text{ km}^2$  رخنمون دارد، وسیع‌ترین توده‌ی گرانیتیوئیدی منطقه‌ی فلز زایی Cu-Mo-Au را تشکیل می‌دهد [۲,۱]. باتولیت‌های گرانیتیوئیدی اردوباد حواشی فعال قاره‌ای، حاصل تزریق و تبلور جدایشی ضربه‌های متعدد ماغمایی طیفی از بازی (گابرو) تا اسیدی (گرانیت) با برتری فازهای گرانودیوریتی - کوارتزمنزونیتی (بیش از ۵۰٪ باتولیت) بروند دارند [۲]. از نظر ساختاری بخشی از منطقه‌ی البرز-

\* نویسنده مسئول، تلفن: ۰۹۱۲۵۳۵۷۵۱۳، نمایر: ۰۲۶۴۵۳۸۳۲۴۴، پست الکترونیکی: m\_jamshidi@pnu.ac.ir

جهان که بخشی از باтолیت اردوباد هستند، در تعیین محیط زمین‌ساختی این منطقه می‌توانند نقش مهمی داشته باشند. به دلیل خاصیت مناسب در تشکیل توده‌های گرانوودیوریتی شاه جهان، از شیمی کانی‌های آمفیبول و پلازیوکلاز، از این کانی‌ها در تعیین دما و فشار و از شیمی کانی‌های بیوتیت و آمفیبول برای تعیین محیط زمین‌ساختی این منطقه استفاده شد. در اینجا نتایج حاصل از شیمی کانی‌ها با نتایج شیمی سنگ کل مقایسه شده‌اند [۱۹-۲۷].

ایران در جنوب جدا می‌شود و به سمت مرزهای شمالی ایران تا درون ارمنستان و قفقاز ادامه می‌یابد [۶]. توده‌های نفوذی گرانوودیوریتی و گرانیتی شاه جهان که در بخش مرکزی باтолیت بزرگ اردوباد و تقریباً در فاصله ۳۰ الی ۳۵ کیلومتری (فاصله هوایی) از معادن مس پورفیری ( $Cu\pm Mo$ ) سونگون، هفت چشمه و در فاصله‌ی ۱۰ کیلومتری جنوب رودخانه مرزی ارس بروندز دارند، و در شمال شرق نقشه‌ی زمین‌شناسی چشمی ۱/۱۰۰۰۰۰ سیه رود قرار گرفته‌اند (شکل ۱ ب، پ). تعیین خاستگاه و سن توده‌های نفوذی گرانوودیوریتی و گرانیتی شاه



شکل ۱ (الف) نقشه‌ی زمین‌ساختی ایران توده‌های نفوذی شاه جهان در روی نقشه با علامت قرمز در منطقه‌ی ساختاری البرز-آذربایجان نشان داده شده است، اقتباس از [۳]، ب) نقشه‌ی زمین‌شناسی خلاصه شده منطقه‌ی اردوباد که توده‌ی نفوذی گرانیتی نشان داده شده است اقتباس از نقشه‌ی ۱/۱۰۰۰۰۰ سیه رود [۴]، پ) موقعیت توده‌های نفوذی منطقه اردوباد نسبت به توده‌های نفوذی خان کندي [۳].

## روش بررسی

برای بررسی خاستگاه توده‌های گرانوودیوریتی و گرانیتی شاه جهان، نتایج تعیین داده‌های ایزوتوپ‌های ناپایدار  $^{87}\text{Sr}/^{86}\text{Sr}$ <sup>87</sup> و  $^{143}\text{Nd}/^{144}\text{Nd}$ <sup>144</sup> مورد بررسی قرار گرفت و سن جایگیری توده‌های نفوذی نیز با روش آرگون - آرگون بهوسیله‌ی کانی بیوتیت مشخص شده است، بررسی‌های ایزوتوپی و تعیین سن در آزمایشگاه علوم زمین دانشگاه بربیش کلمبیای<sup>۱</sup> کانادا انجام شده است (جدول ۱ و ۲).

از آنالیز ریز پردازشی الکترونی<sup>۲</sup> برای بررسی شیمی کانی‌های پلاژیوکلاز، فلدسپار پاتاسیم، آمفیبیول، بیوتیت، اسفن و کانی‌های فلزی توده‌ی نفوذی گرانوودیوریتی و از آنالیز<sup>۳</sup> ICP برای تعیین شیمی سنگ کل ۲ نمونه از توده‌ی نفوذی گرانوودیوریتی و ۳ نمونه از توده‌ی نفوذی گرانیتی استفاده شدند (جدول‌های ۳ و ۴). ریز پردازش الکترونی در آزمایشگاه بخش علوم زمین، دانشکده علوم، دانشگاه ماساریک جمهوری چک<sup>۴</sup> و شیمی سنگ کل در آزمایشگاه امدل استرالیا<sup>۵</sup> انجام گرفت.

## بحث

### سنگنگاری و شیمی کانی‌ها

توده‌های نفوذی گرانوودیوریتی و گرانیتی شاه جهان، در بررسی‌های ماکروسکوپی دارای کانی‌های پلاژیوکلاز، فلدسپار پاتاسیم، کوارتز و نیز کانی‌های مافیک آمفیبیول، بیوتیت و کانی‌های فرعی فلزی و تیتانیت هستند. از نظر بافتی، بافت عمومی این توده‌ها دانه‌ای بوده ولی در توده‌ی گرانوودیوریتی، بافت غالب از نوع ریزدانه و در توده‌ی گرانیتی، بافت پرتیت، آنتی پرتیت است. توده‌ی نفوذی گرانوودیوریتی به رنگ خاکستری تا خاکستری نسبتاً تیره و بافت میان دانه تا ریز بلورند. توده‌های نفوذی گرانیتی نسبت به گرانوودیوریت‌ها دارای ضریب رنگی روشن‌تر بوده و فراوانی کانی‌های مافیک مثل کانی‌های آمفیبیول و بیوتیت در آن‌ها کمتر است.

توده‌ی نفوذی گرانوودیوریتی شاه جهان در بررسی میکروسکوپی گویای حضور بافت‌های میان دانه تا ریز بلور و حضور کانی‌های روشن پلاژیوکلاز با فراوانی ۶۰ تا ۷۰٪ شکل-دار تا نیمه‌شکل‌دار با ترکیب آندزین (X<sub>Ab</sub> = ۰,۵۹ - ۰,۶۲)، با ماکل پلی‌سنتیک، و در برخی موارد توام با ماکل کارلسbad و با

منطقه بندی مشاهده می‌شوند. ارتوز با فراوانی کمتر از ۱۵٪، کوارتز اغلب بی‌شکل و با فراوانی ۱۰٪ تا ۲۰٪ دیده می‌شوند. در رده‌بندی مدبی، توده‌ی نفوذی شاه جهان در گستره‌ی گرانوودیوریت قرار می‌گیرد و در بعضی از نمونه‌ها به‌دلیل کاهش فراوانی کانی‌های کوارتز و ارتوز در گستره‌ی کوارتز دیوریت و دیوریت دیده می‌شود. فراوان‌ترین کانی فرومیزین در این توده عبارت است از آمفیبیول سبز، گاه با فراوانی ۱۵٪ با بلورهای شکل‌دار تا نیمه شکل‌دار لوزی مانند یا ستونی کشیده و کوتاه که اغلب حاوی ماکل ساده با تیغه‌ی میانی (شکل ۲ ب)، ترکیب شیمی آمفیبیول‌ها از نوع کلسیک و در رده‌بندی آمفیبیول‌های نوع کلسیک در گستره‌ی مگنزیو-هورنبلند قرار می‌گیرند (شکل ۳ ب) [۲۰]. بیوتیت در مقداری کمتر نسبت به آمفیبیول‌ها و با فراوانی ۵٪ - ۲۵٪ به‌صورت ورقه‌های با رخ موازی (شکل ۲ ب)، ترکیب شیمی کانی بیوتیت بر اساس رده‌بندی [۲۱] در رده‌ی بیوتیت و در گستره‌ی Meroxene قرار می‌گیرد که گویای بیوتیت بودن بیوتیت‌ها از آلومینیوم است (شکل ۲ الف). کانی‌های فرعی در این سنگ‌ها شامل اسفن، آپاتیت‌های خاکستری تا بی‌رنگ (به‌صورت ادخال)، مقدار جزئی زیرکن و کانی‌های فلزی از نوع مگنتیت هستند و شامل کانی‌های ثانویه عموماً کلریت، سریسیت است. ترکیب شیمیایی کانی‌های توده‌ی گرانوودیوریتی در جدول ۳ نشان داده شده است.

توده‌ی گرانیتی شاه جهان در بررسی میکروسکوپی شامل کانی‌های پلاژیوکلاز شکل‌دار تا نیمه‌شکل‌دار با فراوانی ۴۵٪ تا ۵۵٪، ارتوز نیمه‌شکل‌دار با بافت پرتیت و با فراوانی ۳۵٪ تا ۴۵٪، کوارتز بی‌شکل با فراوانی بیش از ۲۰٪، کانی‌های مافیک بیوتیت و آمفیبیول با فراوانی کمتر از ۱۰٪، کانی‌های فرعی تیتانیت و مگنتیت نیز در این سنگ‌ها حضور دارند (شکل ۲ الف). در رده‌بندی مدبی اغلب نمونه‌های این توده در گستره‌ی گرانیت قرار می‌گیرند.

### بررسی‌های ایزوتوپ Nd-Sr و تعیین سن با روش Ar-Ar بیوتیت

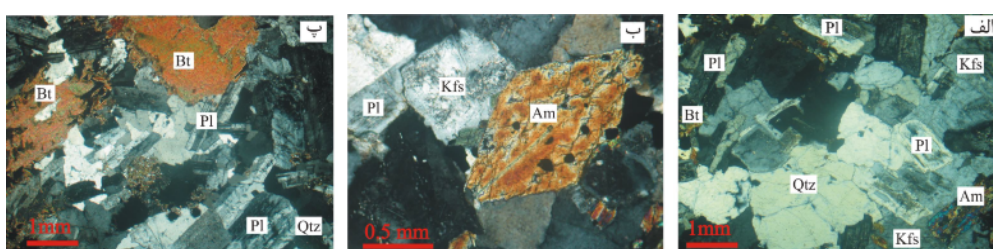
مقدار ایزوتوپ  $^{87}\text{Sr}/^{86}\text{Sr}$  و  $^{143}\text{Nd}/^{144}\text{Nd}$  از دو نمونه سنگی توده‌های گرانوودیوریتی و گرانیتی و برای تعیین خاستگاه اولیه‌ی توده‌ها مشخص شده است. مقدار ایزوتوپ  $^{87}\text{Sr}/^{86}\text{Sr}$  اولیه در توده‌ی گرانوودیوریتی ۰,۷۰۴۴۸۶ و در توده‌ی گرانیتی ۰,۷۰۴۴۳۲، و مقدار ایزوتوپ  $^{143}\text{Nd}/^{144}\text{Nd}$  اولیه در توده‌ی گرانوودیوریتی ۰,۵۱۲۷۹۴ و در توده‌ی گرانیتی ۰,۵۱۲۷۷۶ تعیین شده است. مقدار Nd در این توده‌ها با استفاده از فرمول زیر محاسبه شده است (جدول ۱):

1. British Columbia University

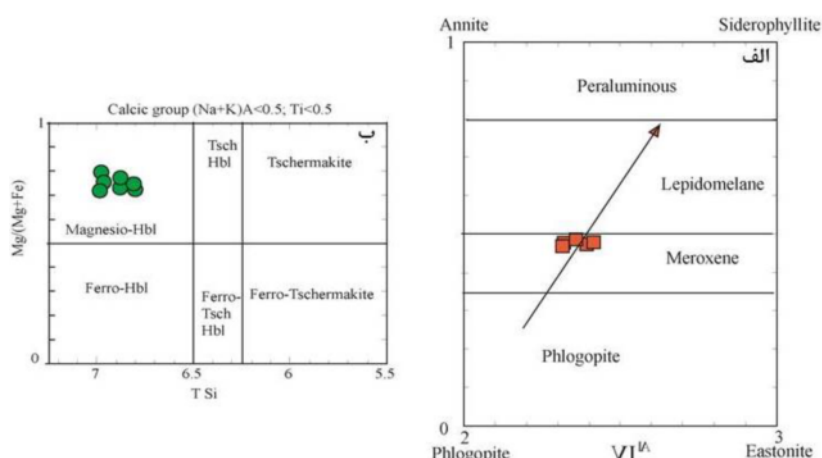
2. Laboratory of Electron Microscopy and Microanalysis

3. Inductively Coupled Plasma

4. Institute of Geological Sciences Faculty of Science Masaryk University-Czech Republic  
5. Amdel Australia



شکل ۲ (الف) تصویر میکروسکوپی از توده‌ی گرانیتی شاه جهان با بافت دانه‌ای و کانی‌های کوارتز، پلاژیوکلاز، فلدسپار پتاسیم، بیوتیت و آمفیبول (XPL)، (ب) تصویر میکروسکوپی سنگ‌های گرانودیوریت توده‌ی نفوذی شاه جهان با بافت دانه‌ای و کانی‌های کوارتز، پلاژیوکلاز، فلدسپار پتاسیم و آمفیبول (نور XPL)، (پ) نمایش کانی بیوتیت در سنگ‌های گرانودیوریتی توده‌ی نفوذی شاه جهان (نور XPL) (علامت استفاده در شکل: Pl: پلاژیوکلاز، Qtz: کوارتز، Kfs: فلدسپار پتاسیم، Am: آمفیبول، Bt: بیوتیت).



شکل ۳ (الف) رده‌بندی کانی‌های بیوتیت بر مبنای شیمی آن‌ها در توده‌ی نفوذی گرانودیوریتی شاه جهان [۲۱]، (ب) رده‌بندی کانی‌های آمفیبول توده‌ی نفوذی گرانودیوریتی شاه جهان [۲۰] (علامت مربع قرمز: به کانی بیوتیت و علامت دایره سبز: به کانی آمفیبول در توده گرانودیوریتی وابسته است).

جدول ۱ نتایج آنالیز ایزوتوپ Sr-Nd، نمونه A-36 از توده‌ی نفوذی گرانودیوریتی شاه جهان و نمونه A-15 از توده‌ی نفوذی گرانیتی شاه جهان آنالیز شده است.

نمونه ها	$^{87}\text{Sr}/^{86}\text{Sr}$	$^{86}\text{Sr}/^{88}\text{Sr}$	$^{143}\text{Nd}/^{144}\text{Nd}$	$^{145}\text{Nd}/^{144}\text{Nd}$	$^{146}\text{Nd}/^{144}\text{Nd}$	Sr norm	2SE	$\text{Sm}/^{143}\text{Nd}$	Nd norm	2SE
A-36	۰.۷۰۴۵۰۱	۰.۱۱۹۵	۰.۵۱۲۷۹۹	۰.۳۴۸۴۰۳	۰.۷۲۰۵	۰.۷۰۴۴۸۶	۰.۰۰۰۰۸	۰.۲۹۲۴	۰.۵۱۲۸۰۰	۰.۰۰۰۰۷
A-18	۰.۷۰۴۴۴۶	۰.۱۱۹۶	۰.۵۱۲۷۷۶	۰.۳۴۸۴۱۲	۰.۷۲۳۱	۰.۷۰۴۴۳۲	۰.۰۰۰۰۸	۰.۲۹۱۳	۰.۵۱۲۸۰۰	۰.۰۰۰۰۸

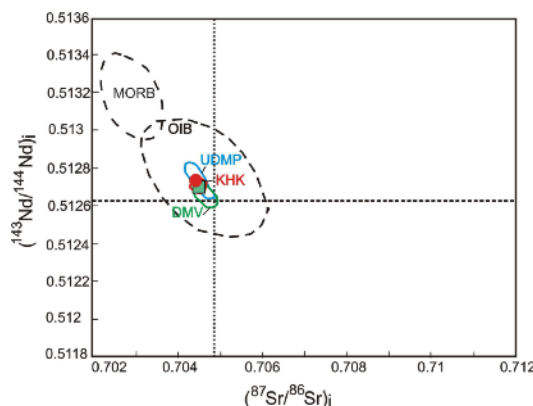
نمایش داده شدند این نتایج با داده‌های ایزوتوپی آتشفشنانی اورمیه دختر [۲۳] و ماغماتیسم دماوند [۲۴] و ماقماتیسم خان کندي که توسط [۲۵] ارائه شد مقایسه شده است. نتایج حاصل از آنالیز ایزوتوپی توده‌های گرانودیوریتی و گرانیتی شاه جهان، و توده‌های خان کندي در یک گستره قرار می‌گيرند و با توجه به جایگاه توده‌های خان کندي نسبت به شاه جهان می‌توانند خاستگاه مشترکی را که در ارتباط با محیط‌های فرورانشی است، داشته باشند. موقعیت جغرافیایی توده‌ی خان-کندي در (شکل ۱ پ) نشان داده شده است.

بر مبنای داده‌های تعیین سن بروش Ar-Ar روی کانی بیوتیت، سن توده‌ی گرانودیوریتی شاه جهان  $40.52 \pm 0.44$  میلیون سال و توده گرانیتی سنی معادل  $46.4 \pm 2.6$  میلیون

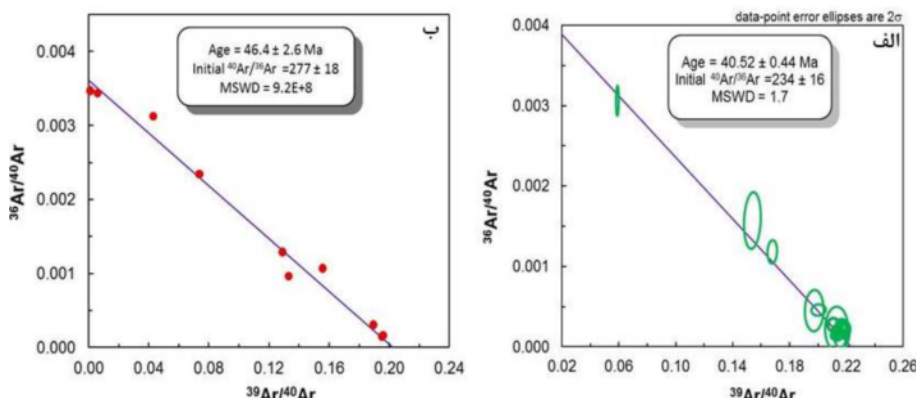
$$\epsilon_{\text{Nd}} = [(\text{Nd}^{143}/\text{Nd}^{144})_s / (\text{Nd}^{143}/\text{Nd}^{144})_{\text{CHUR}} - 1] \times 10000 \quad (معادله شماره ۱)$$

در معادله شماره ۱  $(\text{Nd}^{143}/\text{Nd}^{144})_s$  مقدار  $(\text{Nd}^{143}/\text{Nd}^{144})_{\text{CHUR}}$  حاصل بررسی ایزوتوپی توده‌ی گرانودیوریتی و توده‌ی گرانیتی شاه جهان است (مقدار  $(\text{Nd}^{143}/\text{Nd}^{144})_{\text{CHUR}} = 0.512638$ ) [۲۲] مقدار  $\epsilon_{\text{Nd}}$  در کندریت از هامیلتون و همکاران [۲۲] اقتباس شده است. مقدار  $\epsilon_{\text{Nd}}$  در توده‌ی نفوذی گرانودیوریتی  $2692 \pm 3043$  و در توده‌ی نفوذی گرانیتی  $2692 \pm 3043$  تعیین شد. مقدار  $\epsilon_{\text{Nd}}$  حاکی از این است که ماقمای این توده‌ها در ارتباط با ذوب بخشی پوسته‌ی اقیانوسی و به یک محیط فرورانشی وابسته بوده است [۱]. در شکل ۴ نتایج آنالیز ایزوتوپی توده‌های نفوذی گرانودیوریتی و گرانیتی شاه جهان

مافیک مثل بیوتیت و آمفیبول در این توده‌هاست. روند کاھشی  $TiO_2$  گویای گریزندگی بالای اکسیژن در محیط است. اکسیدهای  $K_2O$ ,  $Na_2O$ ,  $Al_2O_3$  نسبت به  $SiO_2$  روند تبلور عادی نشان نمی‌دهند و می‌تواند ناشی از تاثیر گرمابها در منطقه باشد. الگوی REE با میانگین  $(La/Lu)_N$  برای توده نفوذی گرانودیوریتی ۱۱.۶۱ و برای توده گرانیتی ۰.۹۵-۱۵.۹۵-۱۹.۵۵ است. LREE با نسبت  $(La/Sm)_N = ۰.۱۱$  (La/Sm) نسبت به HREE گرانیتی دارای غنی شدگی مشخص LREE با مقادیر  $(Gd/Lu)_N = ۱.۶۲-۱.۷۲$  (Gd/Lu) نسبت به گرانودیوریتی و  $(Gd/Lu)_N = ۱.۶۸$  (Gd/Lu) نسبت به گرانیتی است. مقدار  $(Eu/Eu^*) = ۰.۹۹-۰.۷۱$  (Eu/Eu\*) گویایی نبود جدایش پلازیوکلазها است (شکل ۶). الف و جدول ۴.



شکل ۴ نمودار نسبت مقادیر ایزوتوب‌های ناپایدار اولیه  $^{143}Nd/^{144}Nd$  به ایزوتوب‌های ناپایدار اولیه  $^{87}Sr/^{86}Sr$ . مربوط به توده‌های آدکیتی پس از برخورد میوسن زون ارومیه-دختر [۲۳]. مقدار مثبت  $\epsilon_{Nd}$  در نمونه‌های گرانودیوریتی و گرانیتی شاه جهان و قرار گیری آن‌ها در گستره‌ی مشابه با توده‌های نفوذی وابسته به فرورانشی، گویای این است که جای گیری این توده‌ها به محیط‌ها فرورانشی وابسته است (دایره به رنگ سرخ به نمونه توده‌ی گرانیتی شاه جهان و مرتع سبز به توده گرانودیوریتی شاه جهان وابسته است).



شکل ۵ (الف) نمودار ایزوکرون تعیین سن توده نفوذی گرانودیوریتی شاه جهان، سن به دست آمده برای توده گرانودیوریتی  $40.52 \pm 0.44$  میلیون سال است. (ب) نمودار ایزوکرون تعیین سن توده نفوذی گرانیتی شاه جهان، سن به دست آمده برای توده گرانیتی  $46.40 \pm 2.6$  میلیون سال است.

سال نشان داده‌اند که به توده‌های نفوذی ائوسن در منطقه‌ی البرز-آذربایجان (ارسباران) وابسته‌اند (شکل ۵) (جدول ۵). در بررسی شیمی کل توده‌های گرانودیوریت و گرانیت شاه جهان، فراوانی کوارتز توده‌های نفوذی گرانودیوریتی و گرانیتی شاه جهان از ۶۴/۶۶ تا ۷۲/۴۰ درصد وزنی تغییر می‌کند و دارای  $2.60-4.60\text{ wt\%}$  اکسید پاتاسیم،  $14.79-16.96\text{ wt\%}$  اکسید سدیم و  $4.64-5.01\text{ wt\%}$  اکسید آلومینیوم بوده و در مقادیری کمتر، دارای اکسیدهای  $0.14-0.33\text{ wt\%}$  منیزیم ( $0.06-0.11\text{ wt\%}$ )،  $0.13-0.16\text{ wt\%}$  فسفر ( $0.06-0.10\text{ wt\%}$ ) و  $0.23-0.42\text{ wt\%}$  تیتانیم ( $0.04-0.06\text{ wt\%}$ ). در نمودارهای هارکر، با  $Fe_2O_3$ ,  $MgO$ ,  $P_2O_5$  مقادیر اکسیدهای  $SiO_2$  تبلور تفریقی کانی‌های  $Fe_2O_3$ ,  $MgO$  و  $TiO_2$  روند کاھشی

**جدول ۲** نتایج آنالیز سن سنجی آرگون-آرگون، نمونه A-36 از توده نفوذی گرانودیوریتی شاه جهان و نمونه‌ی A-18 از توده نفوذی گرانیتی شاه جهان آنالیز شده است.

نمونه‌ها	Power (%)	Laser		Isotope Ratios				Age	Z
		40Ar/39Ar	t <sub>10</sub>	37Ar/39Ar	t <sub>10</sub>	36Ar/39Ar	t <sub>10</sub>		
A-36-1	۲,۹۰ W	۶,۵۳	۰,۱۰	۰,۱۰	۰,۰۱	۰,۰۱۰	۰,۰۰۱	۳۱,۶۵	±۵,۲۱
A-36-2	۴,۲۰ W	۵,۹۹	۰,۰۵	۰,۰۷	۰,۰۰۳	۰,۰۰۷	۰,۰۰۰۳	۳۵,۲۰	±۲,۰۱
A-36-3	۳,۹۰ W	۵,۰۲	۰,۰۵	۰,۰۲	۰,۰۰۱	۰,۰۰۲	۰,۰۰۰۱	۳۹,۱۵	±۱,۱۵
A-36-4	۴,۲۰ W	۴,۷۹	۰,۰۳	۰,۰۴	۰,۰۰۱	۰,۰۰۱	۰,۰۰۰۱	۳۹,۶۸	±۰,۹۹
A-36-5	۴,۵۰ W	۴,۶۴	۰,۰۳	۰,۰۵	۰,۰۰۱	۰,۰۰۱	۰,۰۰۰۱	۳۹,۰۱	±۰,۸۹
A-36-6	۴,۸۰ W	۴,۷۳	۰,۰۳	۰,۰۳	۰,۰۰۱	۰,۰۰۱	۰,۰۰۰۱	۴۰,۲۱	±۰,۹۳
A-36-7	۵,۱۰ W	۴,۶۸	۰,۰۳	۰,۰۳	۰,۰۰۱	۰,۰۰۱	۰,۰۰۰۱	۴۰,۲۴	±۰,۸۳
A-36-8	۵,۴۰ W	۴,۷۳	۰,۰۳	۰,۰۴	۰,۰۰۱	۰,۰۰۱	۰,۰۰۰۱	۴۰,۹۰	±۰,۸۳
A-36-9	۵,۷۰ W	۴,۷۳	۰,۰۳	۰,۰۵	۰,۰۰۱	۰,۰۰۱	۰,۰۰۰۱	۴۰,۸۹	±۰,۸۱
A-36-10	۶,۰۰ W	۴,۷۱	۰,۰۳	۰,۰۶	۰,۰۰۱	۰,۰۰۱	۰,۰۰۰۱	۴۰,۳۷	±۱,۰۳
A-36-11	۶,۳۰ W	۵,۱۰	۰,۰۷	۰,۰۵	۰,۰۰۴	۰,۰۰۲	۰,۰۰۱	۳۹,۸۵	±۳,۰۷
A-36-12	۶,۳۰ W	۴,۷۲	۰,۰۷	۰,۰۸	۰,۰۰۴	۰,۰۰۱	۰,۰۰۱	۳۹,۷۳	±۳,۰۶
A-36-13	۶,۶۰ W	۴,۶۵	۰,۰۵	۰,۰۹	۰,۰۱	۰,۰۰۱	۰,۰۰۰۳	۳۹,۸۶	±۲,۱
A-18-1	۳,۰۰ W	۶,۴۵	۰,۰۶	۰,۱۴	۰,۰۰۲	۰,۰۰۶	۰,۰۰۰۱	۴۱,۳۷	±۱,۳۷
A-18-2	۳,۶۰ W	۵,۱۵	۰,۰۵	۰,۰۸	۰,۰۰۲	۰,۰۰۱	۰,۰۰۰۳	۴۶,۱۱	±۰,۸۷
A-18-3	۴,۰۰ W	۵,۱۲	۰,۰۵	۰,۲۷	۰,۰۰۵	۰,۰۰۱	۰,۰۰۰۲	۴۵,۶۸	±۰,۹۲
A-18-4	۴,۶۰ W	۵,۳۱	۰,۰۳	۰,۲۷	۰,۰۰۶	۰,۰۰۲	۰,۰۰۰۴	۴۵,۱۶	±۰,۵۳
A-18-5	۵,۱۰ W	۷,۵۴	۰,۰۷	۰,۷۴	۰,۰۲	۰,۰۰۷	۰,۰۰۰۳	۵۰,۴۸	±۲,۱۸
A-18-6	۵,۹۰ W	۷,۷۷	۰,۰۶	۱,۸۸	۰,۰۴	۰,۰۱۰	۰,۰۰۰۲	۴۵,۰۹	±۱,۶۴
A-18-7	۶,۶۰ W	۷,۴۸	۰,۰۶	۱,۳۸	۰,۰۴	۰,۰۰۸	۰,۰۰۰۳	۴۹,۶۸	±۲,۰۵
A-18-8	۷,۰۰ W	۱۳,۶۰	۰,۱۹	۲,۹۱	۰,۰۷	۰,۰۳۲	۰,۰۰۳	۳۹,۳۵	±۱۷,۸۸

**جدول ۳** نتایج آنالیز ریز پردازش الکترونی کانی‌های توده‌ی گرانودیوریتی شاه جهان. (به علت محدودیت تعداد صفحات، نتایج آنالیز چند نقطه در جدول آورده شده‌اند)، علائم خط چین در جدول نشان دهنده عدم حضور اکسید در آنالیز کانی است.

نمونه‌ها کانی‌ها درصد وزنی اکسیدها	A-15	A-36	A-15	A-36	A-36	A-36	A-36	A-36
	آمفیبیول	بیوتیت		فلدسبار پاتاسیم	پلازیوکلاز	مگنتیت	تیتانیت	
SiO <sub>2</sub>	۴۸,۱۶	۴۶,۳۸	۴۸,۸۶	۳۷,۱۹	۶۵,۳۱	۵۸,۶۰	۰,۰۲۱	۰,۰۹
Al <sub>2</sub> O <sub>3</sub>	۶,۳۰	۷,۶۹	۱۴,۰۳	۱۳,۹۴	۱۸,۴۷	۲۶,۱۲	۰,۰۳	۰,۰۲۶
BaO	۰,۰۷	۰,۰۳۸	---	---	۰,۰۹	۰,۰۰	---	---
P <sub>2</sub> O <sub>5</sub>	۰,۰۰۴	۰,۰۱۶	---	---	۰,۰۰۱	۰,۰۱	---	---
K <sub>2</sub> O	۰,۰۵	۰,۷۸	۹,۴۴	۹,۵۴	۱۵,۳۴	۰,۱۸	---	---
Na <sub>2</sub> O	۱,۱۳	۱,۱۲	۰,۳۱	۰,۲۴	۱,۰۸	۶,۷۶	---	---
CaO	۱۱,۱۲	۱۱,۹۰	۰,۰۱۵	۰,۰۲۱	۰,۰۰۶	۸,۲۲	۰,۰۱۵	۰,۰۹۹
FeO	۱۴,۷۵	۱۶,۵۵	۱۹,۱۹	۱۸,۹۹	۰,۱۳	۰,۲۵	۱۰,۴۴۸	۳۶,۵۹
SrO	---	---	---	---	۰,۱	۰,۰۹	---	---
MgO	۱۳,۹۵	۱۲,۴۰	۱۱,۸۶	۱۱,۵۶	---	---	---	۰,۱۸۵
Cr <sub>2</sub> O <sub>3</sub>	۰,۰۲	۰,۰۱۲	۰,۱۱	---	---	---	۰,۰۷۱	۰,۰۰۳
TiO <sub>2</sub>	۱,۰۸	۱,۲۸	۴,۶۹	۴,۶۶	---	---	۰,۱۲۱	۴۹,۹۷
MnO	۰,۶۴	۰,۷۵۸	۰,۴۸	۰,۴۵	---	---	۰,۱۰۴	۱۱,۵۷
NiO	۰,۰۷۷	۰,۰۱۴	---	---	---	---	۰,۰۰۳	---
V <sub>2</sub> O <sub>3</sub>	۰,۰۴۲	۰,۰۶۲	۰,۰۶۴	۰,۰۷۶	---	---	۰,۴۷۴	۰,۰۵
Cl	۰,۰۸	۰,۱۲	۰,۰۸	۰,۰۷۶	---	---	---	---
ZnO	---	---	---	---	---	---	۰,۰۱۹	۰,۱۰۹
F	۰,۱۹۷	۰,۱۶۱	۰,۲۵۵	۰,۲۵۲	---	---	---	---

جدول ۴ نتایج آنالیز ICP سنگ کل توده‌های گرانوودیوریتی و گرانیتی شاه جهان.

نمونه ها	A-15	A-36	A-19	A-18	A-20
نمونه های توده نفوذی گرانوودیوریتی					
Major Oxides Wt %					
SiO <sub>2</sub>	65.66	64.66	72.39	72.40	71.58
TiO <sub>2</sub>	0.42	0.42	0.23	0.23	0.23
Al <sub>2</sub> O <sub>3</sub>	16.74	16.96	15.74	14.79	15.09
TFe <sub>2</sub> O <sub>3</sub>	4.06	4.06	2.62	2.34	2.50
MnO	0.10	0.10	0.06	0.06	0.06
MgO	1.14	1.40	0.33	0.33	0.33
CaO	4.78	4.80	2.88	2.77	2.84
Na <sub>2</sub> O	4.64	4.64	5	4.79	5.01
K <sub>2</sub> O	2.13	2.09	2.60	2.51	2.52
P <sub>2</sub> O <sub>5</sub>	0.13	0.13	0.07	0.06	0.07
LOI	0.58	0.58	0.17	0.17	0.18
TOTAL	100.38	99.84	102.09	100.45	100.41
Rare-earth element (ppm)					
La	19.50	19.50	14.6	14.7	14.5
Nd	16.20	17.20	7.66	7.38	8.46
Gd	2.45	2.45	1.05	1	1.15
Yb	1.15	1.17	0.5	0.45	0.55
Ce	35.30	35.30	21.3	20.4	20.7
Sm	3.06	3.06	1.42	1.24	1.44
Tb	0.36	0.36	0.14	0.14	0.16
Er	1.20	1.20	0.5	0.45	0.55
Lu	0.18	0.18	0.08	0.08	0.08
Pr	4.45	4.45	2.2	2.1	2.45
Eu	0.92	0.92	0.5	0.46	0.5
Dy	2.18	2.18	0.94	0.82	0.96
Tm	0.20	0.20	0.1	0.05	0.1
Trace-element (ppm)					
Ba	816	816	856	891	905
Y	11.70	12.70	5.8	5.7	5.6
Th	5	6	3.9	3.7	3.7
Zn	77	77	55	49	46
V	70	70	40	35	35
Cs	1	1	0.8	0.8	0.8
Co	6.90	6.90	2.7	2.3	2.4
Rb	49.80	48.80	56.4	58.8	54.8
Zr	11	10	7	7	7
Pb	9	10	14	11	12
Cu	13	13	20	18	18
Cr	13	13	20	18	18
Sc	6	6	2	2	2
Li	6.50	6.50	10.5	10	8
Si	629	639	482	488	503
Nb	7	7	5	5	4.5
Ni	5	5	5	2	2
Hf	0.70	0.70	0.4	0.3	0.3
Be	50	50	50	50	50

در ردهبندی سنگ‌های آذرین بر مبنای درصد وزنی، اکسیدهای Na<sub>2</sub>O + K<sub>2</sub>O نسبت به SiO<sub>2</sub> از نمودار [۲۹] نمونه‌های وابسته به توده‌ی نفوذی گرانوودیوریتی و توده‌ی

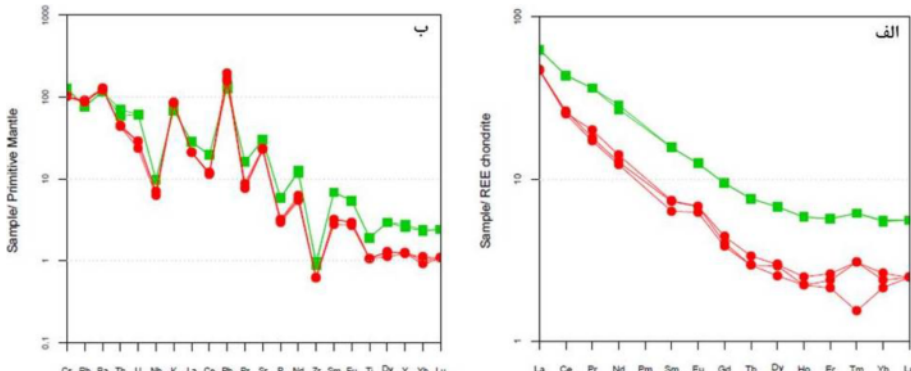
بی‌هنچاری منفی Nb و Ti در نمودارهای بهنجار شده، می‌تواند برای توده‌های نفوذی گرانیتی و گرانوودیوریتی شاه جهان نشان دهنده‌ی شکل‌گیری توده‌های نفوذی در مناطق فرورانشی باشد [۲۸] (شکل ۶ ب).

گرانیتی شاه جهان در نمودار دوتایی  $K_2O-SiO_2$  [۳۳] و نمودار سه تایی  $MgO - FeO - (Na_2O + K_2O)$  در گستره آهکی- قلیایی قرار گرفته [۳۴] (شکل ۸، ب، پ) و توده‌های نفوذی گرانیتی و گرانودیبوریتی شاه جهان در نمودارهای جدایش محیط زمین‌ساختی ( $Nb + Yb$ ) -  $Rb - Y$  در گستره‌ی قوس آتش‌شانی قرار می‌گیرند (شکل ۹ الف، ب) [۳۵].

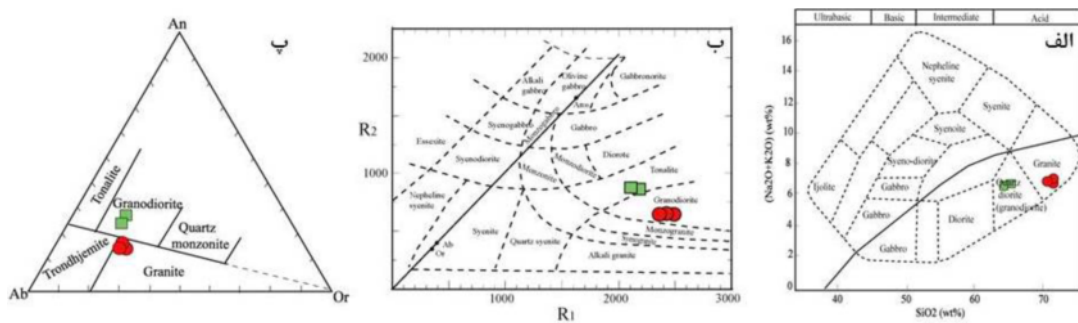
تعیین سری ماقمایی و محیط زمین‌ساختی توده نفوذی گرانودیبوریتی شاه جهان بر مبنای شیمی کانی‌ها سری ماقمایی توده‌ی گرانودیبوریتی شاه جهان، با استفاده از رده‌بندی سری ماقمایی بر مبنای شیمی کانی بیوتیت عبدالرحمن [۷] در نمودارهای  $FeO-MgO-Al_2O_3$  و  $Al_2O_3-MgO$  در گستره C و آهکی- قلیایی که به محیط‌های فرورانشی وابسته‌اند، قرار می‌گیرند (شکل ۱۰ الف، ب).

گرانیتی شاه جهان در گستره‌های گرانودیبوریت و گرانیت قرار می‌گیرند (شکل ۷ الف).

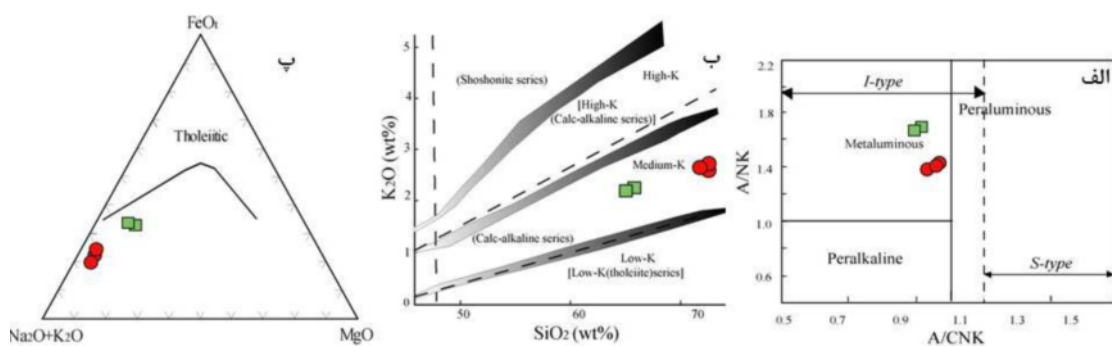
در رده‌بندی بر مبنای کاتیون‌ها در نمودار  $R_1-R_2$ ، به دلیل فراوانی کانی‌های فرومیزین در این توده‌ها و تاثیر مقادیر Mg, Ca, Fe در رده‌بندی کاتیون‌های  $R_1-R_2$  نمونه‌های وابسته به توده‌ی گرانودیبوریت در گستره‌ی تونالیت و نمونه‌های توده‌ی گرانیتی در گستره‌ی گرانودیبوریت قرار می‌گیرند [۳۰] (شکل ۷ ب)، ولی در رده‌بندی بر مبنای کانی‌های بهنجار در نمودار- [۳۱]، نمونه‌های گرانودیبوریتی و گرانیتی شاه جهان در گستره‌ی گرانودیبوریت و گرانیت قرار می‌گیرند (شکل ۷ پ). برای جدایش اشباع از آلومینیوم، انواع گرانیت‌وئیدها از محاسبات ضریب اشباع از آلومینیوم [۳۲، ۲۸] استفاده شد که توده‌های نفوذی گرانودیبوریتی و گرانیتی شاه جهان با مقدار  $A/CNK < 1.1$  و در گستره‌ی نوع I قرار می‌گیرند (شکل ۸ الف). از نظر سری ماقمایی، توده‌های نفوذی گرانودیبوریتی و



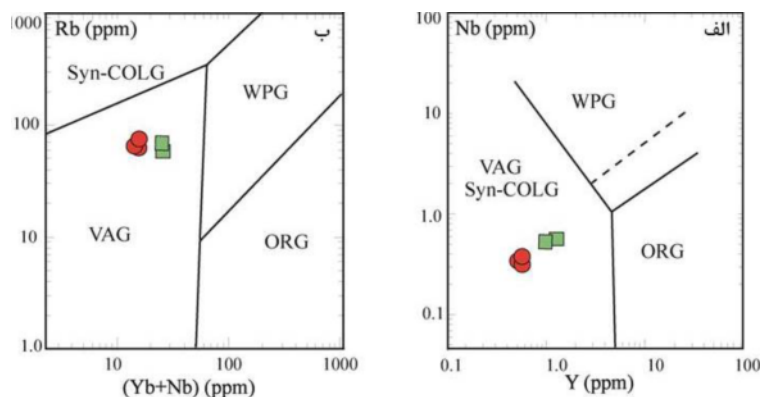
شکل ۶ الف) نمودار تغییرات عناصر نادر خاکی توده‌های گرانیتی بهنجار شده نسبت به کندریت‌ها [۲۶]، ب) نمودار تغییرات عناصر ناسازگار بهنجار شده نسبت به گوشته‌ی اولیه [۲۷]، این نمودارها گویای تشابه تغییرات زئوشیمی توده‌های گرانیتی و گرانودیبوریتی شاه جهان هستند که نشان‌دهنده‌ی هم ماقما بودن این توده‌هاست (رنگ سبز مربوط به توده‌های گرانودیبوریتی و رنگ قرمز مربوط به توده‌های گرانیتی شاه جهان است).



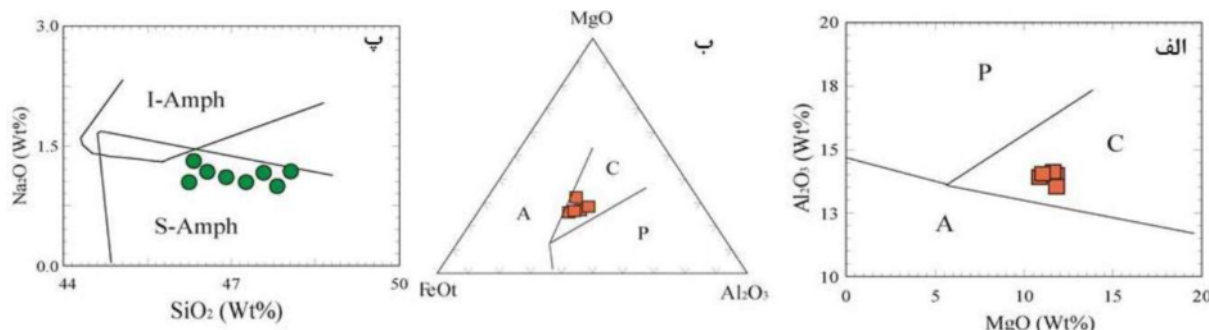
شکل ۷ الف) نمودار نامگذاری سنگ‌های آذرین بر مبنای اکسیدهای  $K_2O + Na_2O$  نسبت به  $SiO_2$ ، اقتباس از [۲۹]، ب) نمودار رده‌بندی سنگ‌های آذرین بر مبنای کاتیون‌های  $R_1 = 4Si - 11(Na + K) - 2(Fe + Ti)$  در این نمودارها نومونه‌های گرانیتی و گرانودیبوریتی از یکدیگر تفکیک می‌شوند (شکل مربع سبز مربوط به توده گرانودیبوریتی و شکل دایره قرمز مربوط به توده نفوذی گرانیتی شاه جهان است).



شکل ۸ (الف) نمودار تعیین شاخص آلومینیوم اقتباس از [۲۸] و خط چین برای تعیین نوع گرانیت‌هایها اقتباس از [۳۲] در این نمودار نمونه‌های هر دو توده‌ی گرانیتی و گرانودیوریتی در گستره‌ی شبه رخسان قرار می‌گیرند. ب) نمودار دوتایی  $K_2O$ - $SiO_2$  برای تعیین سری ماقمایی [۳۳] در این نمودار، نمونه‌های هر دو توده‌ی گرانیتی و گرانودیوریتی در گستره‌ی ماقمایی آهکی-قلیایی قرار می‌گیرند، پ) نمودار سه تایی  $FeO$ - $(Na_2O + K_2O)$ - $MgO$  برای تعیین سری ماقمایی [۳۴] در این نمودار، نمونه‌های هر دو توده‌ی گرانیتی و گرانودیوریتی در گستره‌ی ماقمایی آهکی-قلیایی قرار می‌گیرند (مربع سبز مربوط به توده‌ی گرانودیوریتی شاه جهان وابسته‌اند).



شکل ۹ (الف) نمودار  $Y$ - $Nb$  تعیین محیط زمین‌ساختی اقتباس از [۳۵]، ب) نمودار  $Rb$ - $(Yb + Nb)$  تعیین محیط زمین‌ساختی اقتباس از [۳۵]. در این نمودارها هر دو توده‌ی گرانیتی و گرانودیوریتی در گستره محيط‌های فروزانشی قرار می‌گیرند (مربع سبز به توده‌ی گرانودیوریتی و دایره سرخ به توده‌ی نفوذی گرانیتی شاه جهان وابسته‌اند).



شکل ۱۰ (الف) نمودار دوتایی  $Al_2O_3$ - $MgO$  جدایش سری ماقمایی گرانیت‌ها بر اساس ترکیب شیمیایی بیوتیت اقتباس از [۷]. ب) نمودار سه تایی  $MgO$ - $Al_2O_3$ - $FeO$  ترکیب شیمیایی بیوتیت، پ) نمودار جدایش محیط زمین‌ساختی فروزانشی (نوع S-Amph) (S-Amph) و درون صفحه‌ای (نوع I-Amph) بر مبنای شیمی کانی آمفیبول اقتباس از [۸] (مربع سرخ: مربوط به کانی بیوتیت و دایره سبز: به کانی آمفیبول در توده‌ی گرانودیوریتی وابسته‌اند).

[۱۴-۱۲]. همچنین شرط لازم دیگر برای استفاده از فشارسنجی آلمینیوم در هورنبلند این است که باید در آنالیز ریز پردازشی، کانی هورنبلندی آنالیز شود که در برخوردگاه با کوارتز یا فلدسپار پتاسیم باشد [۱۴]. شرایط یاد شده در مورد توده‌ی گرانودیوریتی شاه جهان در نظر گرفته شده است.

در این پژوهش، برای تعیین فشار جایگیری آلمینیوم در نفوذی گرانودیوریتی شاه جهان، از روش مدرج کردن [۹] استفاده شده است و کلیه روش‌های مختلف محاسبات فشار، برای مقایسه با روش مدرج کردن [۹] در جدول ۵ آورده شده‌اند. فشار به کار رفته در این پژوهش، برای توده نفوذی شاه جهان بین ۱/۰۸ تا ۱/۹۱ کیلوبار بوده است.

#### فشارسنجی آلمینیوم در بیوتیت

میزان آلمینیوم موجود در کانی بیوتیت نیز توسط اوچیدا [۱۶] برای تعیین فشار جایگیری توده‌های نفوذی گرانیتوئیدی معرفی شده است. در توده‌ی نفوذی شاه جهان، برای مقایسه فشار جایگیری توده‌ی نفوذی با روش‌های فشارسنجی آمفیبول، از این روش نیز استفاده شده است. نتایج فشارسنجی حاصل از این روش، فشار جایگیری توده‌ی شاه جهان را بین ۱/۶ تا ۱/۴ کیلوبار نشان می‌دهد که در گستره‌ی فشار محاسبه شده با روش فشارسنجی آمفیبول قرار می‌گیرد (جدول ۶).

#### برداشت

توده‌ی گرانیتی و گرانودیوریتی شاه جهان بخشی از توده‌ی گرانیتوئیدی اردوباد بوده که در شمال غرب ایران و در ۱۰ کیلومتری جنوب رودخانه‌ی مرزی ارس و در منطقه‌ی ساختاری البرز- آذربایجان بروزد دارد. توده گرانودیوریتی دارای بافت دانه‌ای و شامل کانی‌های روشن کوارتز نیمه شکل- دار تا بی‌شکل، پلازیوکلاز شکل‌دار با ترکیب شیمیایی آندزین ( $X_{Ab} = 0,59 - 0,62$ )، فلدسپار پتاسیم شکل‌دار تا نیمه شکل‌دار با ترکیب شیمیایی ارتوز و شامل کانی‌های مافیک آمفیبول با ترکیب شیمیایی منگنز و هورنبلند و بیوتیت، دارای کانی‌های فرعی اسفن شکل‌دار و کانی‌های کدر از نوع مگنتیت است. توده‌ی نفوذی گرانیتی با بافت‌های دانه‌ای و پرتیتی و شامل کانی‌های روشن کوارتز نیمه‌شکل‌دار تا بی‌شکل،

با استفاده از رده‌بندی محیط زمین‌ساختی بر مبنای شیمی کانی آمفیبول، کلوتوری و همکاران [۸]، کانی آمفیبول توده‌ی نفوذی گرانودیوریتی شاه جهان، در گستره‌ی (S-Amph) که وابسته‌به محیط‌های فرورانشی است، قرار می‌گیرند (شکل ۱۰ پ).

زمین دما-فشارسنجی توده نفوذی گرانودیوریتی شاه جهان

بر مبنای شیمی کانی‌های بیوتیت و آمفیبول

دما‌سنجی هورنبلند پلازیوکلاز

هورنبلند و پلازیوکلاز دو کانی مناسب برای دما‌سنجی توده‌های نفوذی گرانیتوئیدی هستند به شرطی که شرایط یاد شده توسط محققینی مثل [۱۴-۱۱] در سنگ‌های گرانیتوئیدی وجود داشته باشد. شرایط شامل دما در گستره‌ی ۴۰۰-۹۰۰ درجه‌ی سانتی‌گراد و آمفیبول‌هایی با ترکیب  $Na_{(A)} > 0,20$  pfu،  $Al^{(IV)} < 1,8$  pfu، Si در گستره‌ی ۶-۷/۷ pfu و پلازیوکلاز با  $X_{An} < 0,9$  باشد. با توجه به اینکه تمام شرایط یاد شده وجود پارازنزا در مورد توده نفوذی گرانودیوریتی شاه جهان وجود دارد، لذا از این دما‌سنجی برای تعیین دما و فشار جایگیری توده‌ی گرانودیوریتی شاه جهان استفاده شد. دمای جایگیری توده با روش‌های مختلف دما‌سنجی انجام شده و در این پژوهش، نتایج حاصل از دما‌سنج  $T(ed-ri)$  [۱۱] به دلیل اینکه پارامترهای مختلفی را در دما‌سنجی دخالت داده است مورد استفاده قرار گرفته است. با این روش، دمای جایگیری توده‌ی ۷۷۷-۷۵۳ درجه‌ی سانتی‌گراد مشخص شده است و نیز نتایج دما‌سنج‌های دیگر برای جهت مقایسه با دما‌سنج  $T(ed-ri)$  [۱۱] در (جدول ۵) آورده شده‌اند.

#### فشارسنجی آلمینیوم در هورنبلند

بررسی‌های تجربی گویای این است که در یک تشکیل دوگانه سنگ‌های خاص، مقدار آلمینیوم در آمفیبول کلسیک در طول تبلور توده‌ی نفوذی می‌تواند رابطه‌ی خطی با فشار داشته باشد [۱۳، ۱۵]. شرایط لازم برای استفاده از فشارسنجی آلمینیوم در هورنبلند حضور کانی‌های کوارتز، پلازیوکلاز، فلدسپار پتاسیم، بیوتیت، هورنبلند، تیتانیت و مگنتیت در سنگ است [۹، ۱۰]،

جدول ۵ نتایج زمین دما-فشارسنجدی توده‌ی نفوذی گرانودیوریتی شاه جهان، علائم استفاده شده در جدول Ab: مقادیر نسبی  $[Na/(Na + Ca + K)]$ : Amph Al<sub>(Total)</sub>: تعداد کاتیون‌های آلومینیوم محاسبه شده در ساختار اتمی هورنبلنده، T(ed-ri): دمای محاسبه شده با کاربرد روش دماسنج (edeneite-richterite) از [۱۱]، P-H&Z: فشار محاسبه شده بر حسب کیلوبار با استفاده از روش [۱۰]، P-Sch: فشار محاسبه شده بر حسب کیلوبار با استفاده از روش [۱۲]، P-A&S: فشار محاسبه شده با استفاده از روش [۱۳]، P-J&R: فشار محاسبه شده با استفاده از روش [۹]، دمای و فشار استفاده شده در این پژوهش به صورت تیره در جدول نشان داده شده‌اند و بقیه دما-فشارسنجدی‌ها برای مقایسه آورده شده‌اند.

نمونه‌ها	Plag Ab	Amph Al (Total)	T(ed-ri) (°C)	P-H&Z (Kbar)	P-Sch (Kbar)	P-J&R (Kbar)	P-A&S (Kbar)
A-15	۰,۵۹	۱,۰۹۵	۷۶۱	۱,۵۹	۲,۲	۱,۱۷	۱,۰۸
A-15	۰,۶۰	۱,۳۴۰	۷۷۱	۲,۸۲	۳,۳۷	۲,۲۱	۱,۹۱
A-15	۰,۵۹	۱,۲۷۰	۷۷۷	۲,۴۷	۲,۰۴	۱,۹۱	۱,۵۱
A-15	۰,۶۱	۱,۱۲۸	۷۵۳	۱,۷۵	۲,۳۶	۱,۳۱	۱,۳۶
A-36	۰,۶۲	۱,۱۸۴	۷۶۷	۲,۰۴	۲,۶۳	۱,۱۸	۱,۴۱
A-36	۰,۵۹	۱,۲۰۱	۷۶۵	۲,۱۲	۲,۷۱	۱,۲۰	۱,۵۱
A-36	۰,۶۱	۱,۲۸۸	۷۷۶	۲,۵۶	۳,۱۲	۱,۲۸	۱,۶۶

جدول ۶ نتایج فشارسنجدی آلومینیوم بر مبنای تعداد کاتیون‌های آلومینیوم در کانی بیوتیت بر مبنای فشارسنجدی [۱۶].

بارومتر آلومینیوم در بیوتیت [۱۶]						
نمونه‌ها	A-15	A-15	A-15	A-36	A-36	A-36
Al-in-biotite	۲,۶۷۷	۲,۶۶۱	۲,۶۲۲	۲,۵۶۱	۲,۶۶۴	۲,۶۸۳
P (Kbar)	۱,۵۸	۱,۵۳	۱,۴۱	۱,۲۳	۱,۵۴	۱,۶

اند. در نمودارهای هارکر، روند کاهشی  $Fe_2O_3$ ,  $MgO$ ,  $CaO$  گویای تبلور جدایشی کانی‌های مافیک مثل بیوتیت و آمفیبیول است. از نظر شاخص شاند، این توده‌ها شبه رخشان و جزء گرانیت‌های نوع I و از نظر سری ماغماتی آهکی-قلیایی هستند. بی‌هنجاری‌های منفی Nb و Ti در نمودارهای بهنجار شده، می‌تواند حاکی از شکل‌گیری توده‌های نفوذی در مناطق فرورانشی باشد. LREE با نسبت  $(La/Sm)_N = (4/11)$  در توده‌ی گرانودیوریتی و نسبت  $(La/Sm)_N = (6/63 - 8/55)$  در توده‌ی گرانیتی، دارای غنی‌شدگی مشخص نسبت به HREE با مقادیر  $(Gd/Lu)_N = (1/27 - 1/62)$  و  $(Gd/Lu)_N = (1/68)$  در توده‌ی گرانیتی است که نشان‌دهنده‌ی شکل‌گیری مagma در عمق زیاد است. مقدار  $(Eu/Eu^*) = 0.71 - 0.99$  در توده‌های نفوذی گرانودیوریتی و گرانیتی شاه جهان، حکایت از عدم

پلازیوکلاز شکل‌دار تا نیمه شکل‌دار، فلدسپار پتاسیم با بافت پرقتیت، آمفیبیول با فراوانی کمتر نسبت به توده‌ی نفوذی گرانودیوریتی، بیوتیت، اسفن و مگنتیت است. فراوانی کانی‌های فلدسپار پتاسیم در توده‌ی نفوذی گرانیتی نسبت به توده‌ی نفوذی گرانودیوریتی بیشتر است.

نسبت ایزوتوپ ناپایدار  $^{87}Sr/^{86}Sr$  اولیه در توده‌ی گرانودیوریتی  $0.704486 \pm 0.704432$  و مقدار Nd<sup>143</sup> در این توده‌ها مثبت است که گویای خاستگاه گوشتنهای در محیط‌های فرورانشی است. بر مبنای داده‌های سال‌سنجدی بروش Ar-Ar، روی کانی بیوتیت، سن توده‌ی گرانودیوریتی  $44 \pm 0.52$  میلیون سال و توده‌ی گرانیتی  $46 \pm 4.6$  میلیون سال به دست آمده‌اند که به توده‌های نفوذی اوسن شمال غرب ایران، زون البرز-آذربایجان وابسته-

- Sanandaj-Sirjan Zone, Iran", Journal of Geodynamics* 45 (2008) 178–190.
- [6] Azizi H., Moinevaziri H., "Review of the tectonic setting of Cretaceous to Quaternary volcanism in northwestern Iran", *Journal of Geodynamics* 47 (2009) 167–179.
- [7] Abdel-Rahman A., "Nature of Biotites from Alkaline, Calc-alkaline, and Peraluminous Magmas", *Journal of petrology* 35 (1994) 525-541.
- [8] Coltorti M., Bondaiman C., Faccini B., Grégoire M., O'Reilly S.Y., Powell W., "Amphiboles from suprasubduction and intraplate lithospheric mantle", *Lithos* 99 (2007) 68-84.
- [9] Anderson J.L., Smith D.R., "The effects of temperature and  $fO_2$  on the Al-in-hornblende barometer", *American Journal of Science* 305 (1995) 549-559.
- [10] Hammarstrom J.M., Zen E., "Aluminum in hornblende: An empirical igneous geobarometer", *American Journal of Science* 276 (1986) 1297-1313.
- [11] Holland T., Blundy J., "Non-ideal interactions in calcic amphiboles and their bearing on amphibole-plagioclase thermometry", *Contributions to Mineralogy and Petrology* 116 (1994) 433-447.
- [12] Johnson M.C., Rutherford M.J., "Experimental calibration of the aluminum-in-hornblende geobarometer with application to Long Valley Caldera (California) volcanic rocks", *Geology* 17 (1989) 837-841.
- [13] Schmidt M.W., "Amphibole composition in tonalite as a function of pressure: An experimental calibration of the Al-in-hornblende barometer", *Contributions to Mineralogy and Petrology* 110 (1992) 304-310.
- [14] Stein E., Dietl C., "Hornblende thermobarometry of granitoids from the Central Odenwald (Germany) and their implications for the geotectonic development of the Odenwald", *Mineralogy and Petrology* 72 (2001) 185-207.
- [15] Thomas W.M., Ernst W.G., "The aluminium content of hornblende in calc-alkaline granitic rocks: A mineralogic barometer calibrated experimentally to 12kbar: In: Spencer R.J. and

جدايش پلازيوكلازها دارد. بر مبناي شيمى کانى های بيوتيت، تودهی نفوذی گرانوديوريتی شاه جهان به مناطق فرورانشی، سری آهکی- قلیاچی و از نوع گرانیت های نوع I وابسته است. همچنین آمفیبول آنها از نوع (S-Amph) بوده و گویا شرایط تشکیل در محیط های فرورانشی گرانیت هاست. تودهی نفوذی گرانوديوريتی شاه جهان، دارای پارژنز مناسب (Qtz + Pl + Kfs + Amph + Bt + Tit + Opq) برای استفاده از زمین دما- شيمى های مختلف آمفیبول و بيوتيت استفاده شده. محیط فيزيکوشيميايی اين توده، بر مبناي بررسی های زمین دما- شيمی، در گستره فشار ۱۰۸ تا ۱۹۱ کيلوبار و در گستره دمای ۷۵۳ تا ۷۷۷ درجه سانتي گراد تعیین شد.

#### مراجع

- [1] Hassanpour Sh., Alirezaei S., Selby D., Sergeev S., "SHRIMP zircon U-Pb and biotite and hornblende Ar-Ar geochronology of Sungun, Haftcheshmeh, Kighal, and Niaz porphyry Cu-Mo systems: evidence for an early Miocene porphyry-style mineralization in northwest Iran", *International journal of earth sciences* 104 (2015) 45-59.
- [۲] حسن پور ش.، "متالوژی کانسارهای مس پورفیری و طلای اپی ترمال در زون ارسباران (شمال غرب کشور)"، پایان نامه دکتری، دانشکده علوم زمین، دانشگاه شهرید بهشتی (۱۳۸۹).
- [3] Castro A., Aghazadeh M., Badrzadeh Z., Chichorro M., "Late Eocene-Oligocene post-collisional monzonitic intrusions from the Alborz magmatic belt, NW Iran. An example of monzonite magma generation from a metasomatized mantle source", *Lithos* 180–181 (2013) 109–127.
- [۴] مهرپرتو م.، امامی م.ھ.، میرزائی م.، و علائی س.، "نقشه زمین شناسی ۱/۱۰۰۰۰۰؛ سیه رود؛ سازمان زمین شناسی و اکتشافات معدنی کشور" (۱۳۷۶).
- [5] Azizi H., Jahangiri A., "Cretaceous subduction-related volcanism in the north- ern

- Sr, Nd, Pb isotope constraints", International Journal of Earth Sciences 97 (2008) 89–102.*
- [25] Aghazadeh M., Castro A., Omran N.R., Emami M.H., Moinvaziri H., Badrzadeh Z., "The gabbro (*shoshonitic*)–monzonite–granodiorite association of Khankandi pluton, Alborz Mountains, NW Iran", Journal of Asian Earth Sciences 38 (2010) 199–219.
- [26] Boynton W.V., "Consmochemistry of the rare earth elements meteorite studies. In: Henderson, P. (Ed.), *Rare Earth Element Geochemistry*", Elsevier Sciences, Amsterdam (1984) 63–114.
- [27] Thompso R.N., "Magmatism of the British Tertiary volcanic province", Scottish Journal of Geology 18 (1982) 9–107.
- [28] Chappell B.W., White A.J.R., "I- and S-type granites in the Lachlan fold belt. Transactions of the Royal Society of Edinburgh", Earth Sciences 83 (1992) 1–26.
- [29] Cox K. g., Bell J. D., Pakhurst R. J., "The interpretation of igneous rocks Allen and unwin", London (1979) 450p.
- [30] De La Roche h., Leterrier J., Grandclaude P., Marchal M., "A classification of volcanic and plutonic rocks using  $R_1$ - $R_2$  diagrams and major element analyses, its relationship and current nomenclature", Chemical Geology 29 (1980) 183–210.
- [31] Barker F., "Teronjamite definition, environment and hypotheses of origin, in *Teronjamites, dacites and related rocks*", edited by F Barker., Elsevier Science Publication Amsterdam (1979) 1-12.
- [32] Maniar P.D., Piccoli P.M., "Tectonic discrimination of granitoids", Geological Society of American Bulletin 101 (1989) 635–643.
- [33] Le Maitre R.W., Bateman P., Dubek A., Keller J., Lameyre J., Le Bas M.J., Sabine P.A., Schmid R., Sørensen H., Streckeisen A., Woolley A.R., Zanettin B., "A classification of igneous rocks and glossary of terms. Recommendations of the International Union of Geological Sciences Subcommission on the Systematics of Igneous Rocks", Blackwell, Oxford (1989) 193.
- Chou I.M (Eds.), Fluid-mineral interactions: A tribute to HP Eugster", The Geochemical Society Special Publication 2 (1990) 59–63.*
- [16] Uchida E., Endo S., Makino M., "Relationship between Solidification Depth of Granitic Rocks and Formation of Hydrothermal Ore Deposits", Resource Geology 57 (2007) 47–56.
- [۱۷] اسماعیلی د.، طباخ شعبانی ا. ع.، نجار ح.، رضایی م.، "استفاده از شیمی کانی آمفیبول در بررسی ویژگی های اگما ای و سازنده و زمین دما-فشارسنجدی توده های گرانو-دیوریتی شمال غرب ساوه، ایران مرکزی"، مجله بلورشناسی و کانی‌شناسی ایران، شماره ۲۱ (۱۳۹۲) ص ۴۱۷–۴۳۰.
- [۱۸] طهماسبی ز.، خلیلی م.، احمدی خلجی ا.، مکی زاده م.، "مقایسه انواع آمفیبول ها و ژئوتربورومتری توده نفوذی آستانه (زون سنندج-سیرجان)", مجله بلورشناسی و کانی‌شناسی ایران، شماره ۱۷ (۱۳۸۸) ص ۲۷۹–۲۹۰.
- [۱۹] قدمی غ.، مرادیان شهر بابکی ع.، مرتضوی س. م.، "زمین دما-فشارسنجدی و کانی‌شناسی توده های نفوذی اسیدی الیگو-میوسن شمال غرب شهر بابک، کرمان"، مجله بلورشناسی و کانی‌شناسی ایران، شماره ۲۲ (۱۳۹۳) ص ۵۴۳–۵۵۶.
- [20] Leake B.E., "On aluminous and edenitic amphiboles", Mineralogical Magazine 38 (1971) 389–407.
- [21] Deer W. A., Howie A., Sussman J., "An interdiction to rock-forming minerals", 17th. Longman Ltd (1986) 528p.
- [22] Hamilton P.J., Evensen N.M., O'Nions R.K., Smith H.S., and Erlank A.J., "Sm-Nd dating of Onverwach group volcanics, southern Africa", Nature 279 (1979) 28-300.
- [23] Shafiei B., Haschke M., Shahabpour J., "Recycling of orogenic arc crust triggers porphyry Cu mineralization in Kerman Cenozoic arc rocks, southeastern Iran", Mineralium Deposita 44 (2009) 265–283.
- [24] Liottard J.M., Dautria J.M., Bosch D., Condomines M., Mehdizadeh H., Ritz J.-F., "Origin of the absarokite–banakite association of the Damavand volcano (Iran): trace elements and

- [35] Pearce J.A., Harris N.B.W., Tindle A.G., "Trace element discrimination diagrams for the tectonic interpretation of granitic rocks", Journal of Petrology 25 (1984) 956–983.
- [34] Irvine T.N., Baragar W.R.A., "A guide to the chemical classification of the common volcanic rocks". Canadian Journal of Earth Sciences 8 (1971) 523-548.